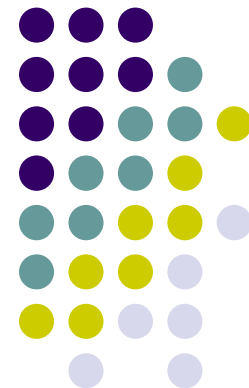


Spektar signala

Obrada informacija

Damir Seršić

<http://www.fer.hr/predmet/oi>



Teme predavanja



- Fourierova transformacija: 4 varijante
- Matrica diskretne Fourierove transformacije (DFT matrica)
- DFT filtarski slog
- Brza Fourierova transformacija (FFT)



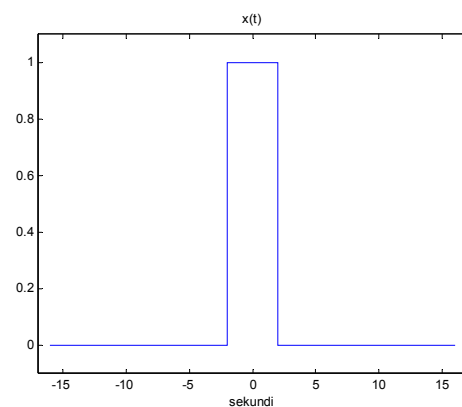
1.) Fourierov integral

$$\int_{-\infty}^{+\infty} \underbrace{x(t)}_{\text{signal}} \underbrace{e^{-j\omega t}}_{\substack{\text{kompleksna} \\ \text{harmonijska} \\ \text{funkcija}}} dt = X(\omega)$$

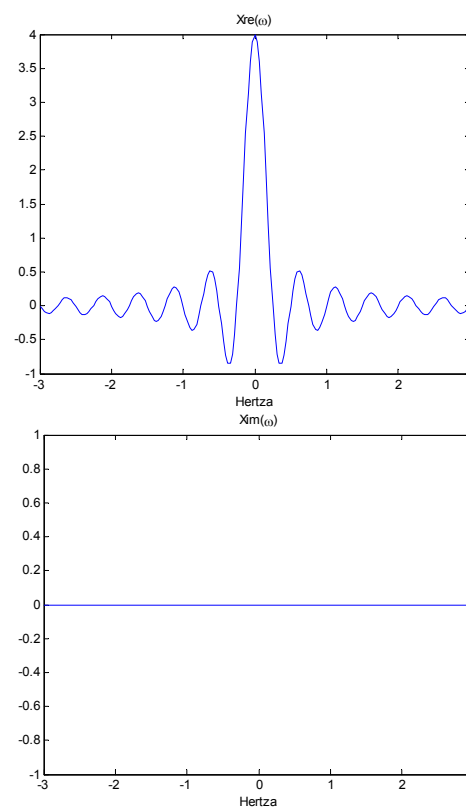
- $X(\omega)$ - mjera sličnosti između $x(t)$ i $e^{j\omega t}$, odnosno mjera frekvencijskog sadržaja $x(t)$.
- Inverzna formula:

$$x(t) = \frac{1}{2\pi} \int_{-\infty}^{+\infty} X(\omega) e^{j\omega t} d\omega$$

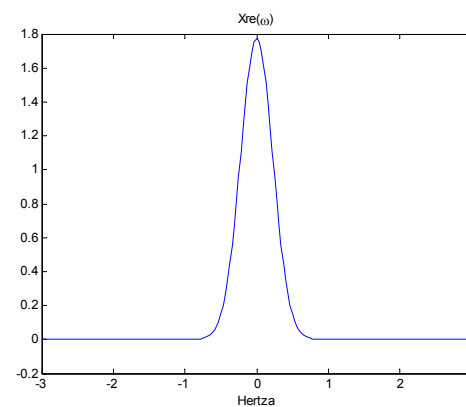
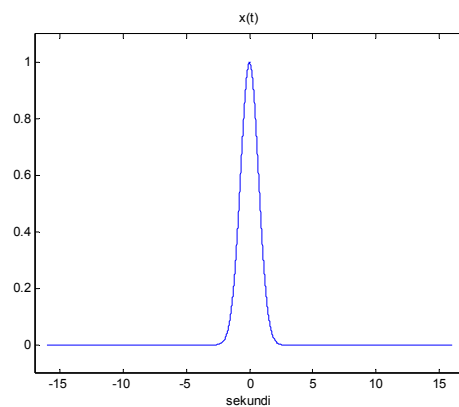
Fourierov integral, primjer 1



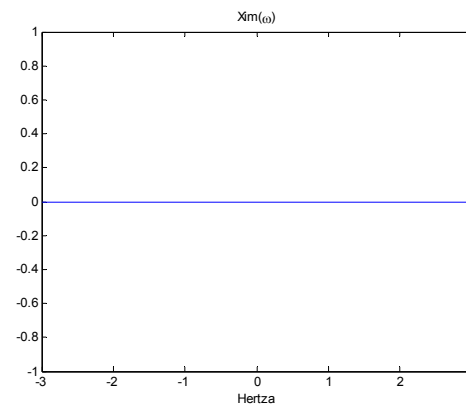
$$\int_{-W/2}^{+W/2} 1 \cdot e^{-j\omega t} dt = W \frac{\sin \omega \frac{W}{2}}{\omega \frac{W}{2}}$$



Fourierov integral, primjer 2



$$\int_{-\infty}^{+\infty} e^{-\frac{t^2}{2a^2}} e^{-j\omega t} dt = a\sqrt{2\pi} e^{-\frac{a^2\omega^2}{2}}$$



Parsevalov teorem



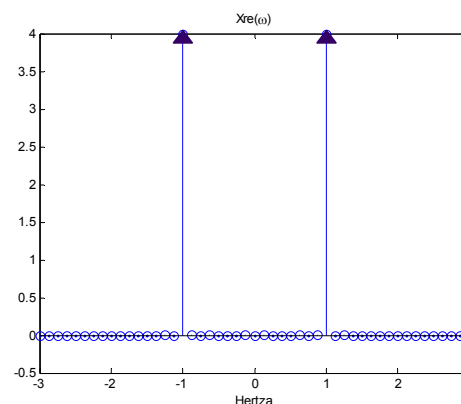
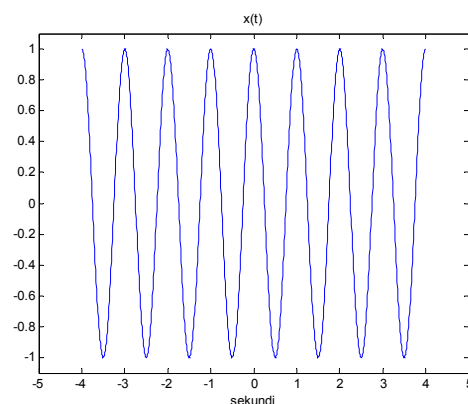
- Fourierova transformacija čuva energiju signala (Parsevalov teorem):

$$\int_{-\infty}^{+\infty} |x(t)|^2 dt = \frac{1}{2\pi} \int_{-\infty}^{+\infty} |X(\omega)|^2 d\omega$$

Fourierova transformacija



- Harmonijski signal: Fourierov integral divergira.

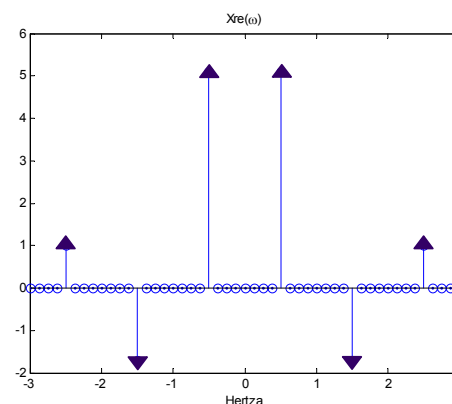
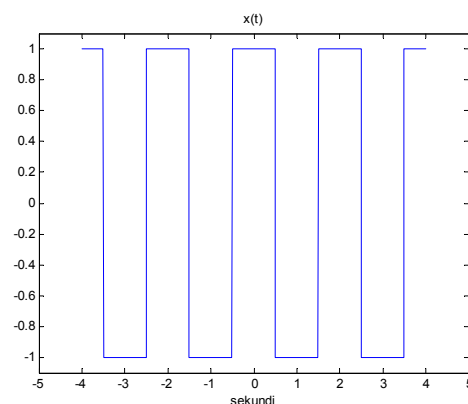


$$X(\omega) = \int_{-\infty}^{+\infty} \cos \Omega t \cdot e^{-j\omega t} dt = \pi [\delta(\omega + \Omega) + \delta(\omega - \Omega)]$$

Fourierova transformacija



- Pravokutni ili neki drugi periodički signal: Fourierov integral divergira.



$$X(\omega) = \sum_{n=0}^{\infty} \frac{4}{(2n+1)} [\delta(\omega + (2n+1)\Omega) + \delta(\omega - (2n+1)\Omega)]$$



2.) Fourierov red

- Puno prikladniji za analizu periodičkih signala $x_T(t+T) = x_T(t)$.
- Koeficijente Fourierovog reda računamo integrirajući samo po jednom periodu T i to za diskretne frekvencije (višekratnike od Ω).
- Definicija:

$$\omega \rightarrow n\Omega, \quad \Omega = 2\pi / T$$

$$X(n) = \frac{1}{T} \int_0^T x_T(t) e^{-jn\Omega t} dt$$

koeficijenti Fourierovog reda

Fourierov red



$$x_T(t) = \sum_{n=-\infty}^{\infty} X(n) \cdot e^{jn\Omega t}$$

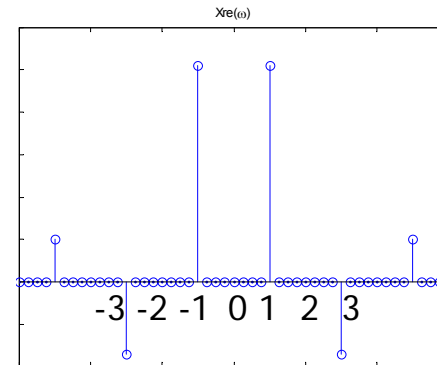
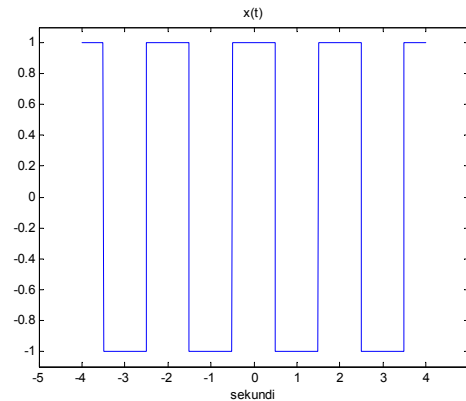
- Periodički signal možemo potpuno rekonstruirati iz koeficijenata reda.
- I ovdje je skup funkcija razlaganja ortogonalan i važi Parsevalov teorem:

$$\int_0^T |x_T(t)|^2 dt = T \sum_{n=-\infty}^{\infty} |X(n)|^2$$

Fourierov red, primjer



- Pravokutni signal



$$\begin{aligned} x(t) &= \frac{4}{\pi} \left(\cos \Omega t + \frac{\cos 3\Omega t}{3} + \frac{\cos 5\Omega t}{5} + \dots \right) = \frac{4}{\pi} \sum_{n=0}^{\infty} \frac{\cos(2n+1)\Omega t}{(2n+1)} \\ &= \frac{2}{\pi} \sum_{n=-\infty}^{\infty} \frac{\cos(2n+1)\Omega t}{(2n+1)} \quad X(2n+1) = \frac{2}{\pi} \frac{1}{2n+1}, \quad X(2n) = 0. \end{aligned}$$

11

3.) Fourierova transformacija vremenski diskretnih signala



- Definicija:

$$\sum_{n=-\infty}^{\infty} x(n) e^{-j\omega n} = X(e^{j\omega})$$

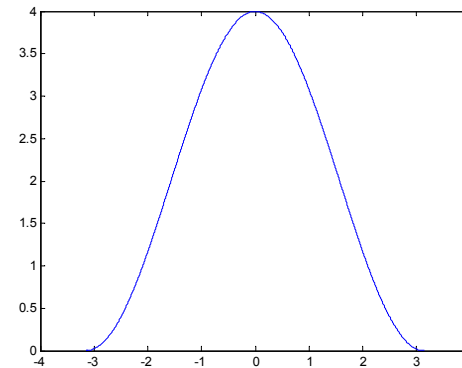
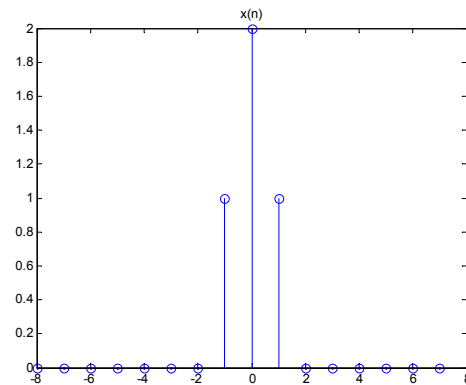
- $X(e^{j\omega})$ - spektar **periodičan** s periodom 2π .
- Inverzna transformacija:

$$x(n) = \frac{1}{2\pi} \int_{-\pi}^{\pi} X(e^{j\omega}) e^{j\omega n} d\omega$$

Fourierova transformacija vremenski diskretnih signala



- Diskretni signal



$$x(n) = \dots 0, 0, 1, \underline{2}, 1, 0, 0, \dots$$

$$X(e^{j\omega}) = 1 \cdot e^{-j\omega(-1)} + 2 \cdot e^{j\omega 0} + 1 \cdot e^{-j\omega 1} = 2 + 2 \cos \omega.$$

4.) Diskretna Fourierova transformacija (DFT)



- Definicija:

$$\sum_{n=0}^{N-1} x(n) e^{-j\frac{2\pi}{N}nk} = X(k)$$

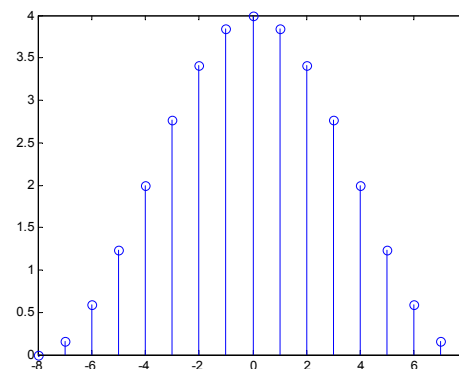
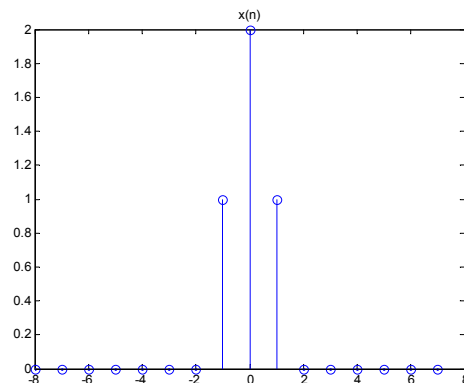
- $x(n)$ i $X(k)$ - **periodični** s periodom N .
- Inverzna transformacija:

$$x(n) = \frac{1}{N} \sum_{k=0}^{N-1} X(k) e^{j\frac{2\pi}{N}nk}$$

DFT, primjer 1



- Diskretni signal i transformacija



$$x(n) = \{0, 0, 0, 0, 0, 0, 0, 1, \underline{2}, 1, 0, 0, 0, 0, 0, 0\}_{16}$$

$$X(k) = 1 \cdot e^{-j\frac{2\pi}{16}k(-1)} + 2 \cdot e^{j\frac{2\pi}{16}k \cdot 0} + 1 \cdot e^{-j\frac{2\pi}{16}k \cdot 1} = 2 + 2 \cos \frac{2\pi}{16} k.$$

Četiri oblika Fourierove transformacije

	periodički signal	aperiodički signal	
kontinuirani signali	<p>Fourierov red</p> $x(t) = \sum_{n=-\infty}^{\infty} X[n] e^{jn\Omega t}$ $X[n] = \frac{1}{T} \int_T x(t) e^{-jn\Omega t} dt$ <p>$x(t)$ ima period T $\Omega = \frac{2\pi}{T}$</p>	<p>Fourierov integral</p> $x(t) = \frac{1}{2\pi} \int_{-\infty}^{\infty} X(\omega) e^{j\omega t} d\omega$ $X(\omega) = \int_{-\infty}^{\infty} x(t) e^{-j\omega t} dt$	aperiodički spektar
diskretni signali	<p>Diskretna Fourierova transformacija</p> $x[k] = \sum_N X[n] e^{jn\Omega k}$ $X[n] = \frac{1}{N} \sum_N x[k] e^{-jn\Omega k}$ <p>$x(k)$ i $X[n]$ imaju period N $\Omega = \frac{2\pi}{N}$</p>	<p>Fourierova transformacija vremenski diskretnih signala</p> $x[k] = \frac{1}{2\pi} \int_{-\pi}^{\pi} X(e^{j\omega}) e^{j\omega k} d\omega$ $X(e^{j\omega}) = \sum_{k=-\infty}^{\infty} x[k] e^{-j\omega k}$ <p>$X(e^{j\omega})$ ima period 2π</p>	periodički spektar
	diskretni spektar	kontinuirani spektar	

16



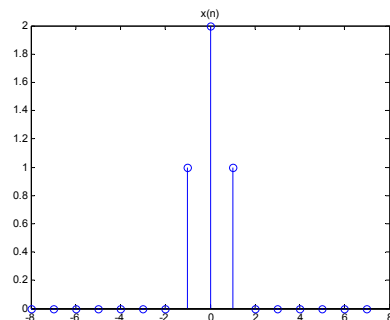
DFT konačnih signala

- DFT preslikava niz brojeva perioda N na niz (kompleksnih) brojeva perioda N .
- Izrazi za DFT i DFT^{-1} ne sadrže integrale: lako se realiziraju na računalu.
- Zbog jednostavnosti, često se primjenjuju i na signale **konačnog trajanja**.
- Dobivamo **uzorke** spektra diskretnog signala.
- To je spektar **periodično proširenog signala**!

DFT i periodičko proširenje signala



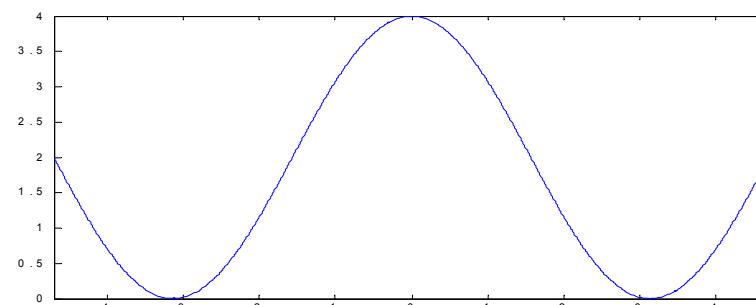
$$x(n) = \dots 0, 0, 1, \underline{2}, 1, 0, 0, \dots$$



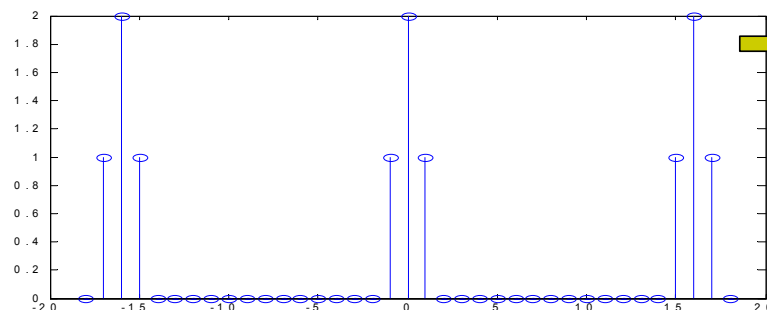
FT VDS



$$X(e^{j\omega}) = 2 + 2 \cos \omega.$$



periodičko proširenje

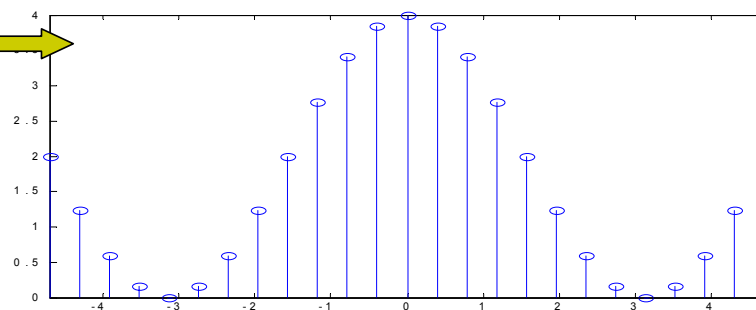


DFT



$$\hat{x}(n) = \{0, 0, 0, 0, 0, 0, 0, 0, 1, \underline{2}, 1, 0, 0, 0, 0, 0, 0\}_{16}$$

diskretizacija



$$X(k) = 2 + 2 \cos \frac{2\pi}{16} k$$



DFT, primjer 2

- Neka je $N=4$: $x[n] = \{x[0], x[1], x[2], x[3]\}_4$

$$X[k] = \sum_{n=0}^{N-1} x[n] e^{-j \frac{2\pi}{N} nk}$$

$$X[0] = x[0] e^{-j \frac{2\pi}{N} 0 \cdot 0} + x[1] e^{-j \frac{2\pi}{N} 1 \cdot 0} + x[2] e^{-j \frac{2\pi}{N} 2 \cdot 0} + x[3] e^{-j \frac{2\pi}{N} 3 \cdot 0},$$

$$X[1] = x[0] e^{-j \frac{2\pi}{N} 0 \cdot 1} + x[1] e^{-j \frac{2\pi}{N} 1 \cdot 1} + x[2] e^{-j \frac{2\pi}{N} 2 \cdot 1} + x[3] e^{-j \frac{2\pi}{N} 3 \cdot 1},$$

$$X[2] = x[0] e^{-j \frac{2\pi}{N} 0 \cdot 2} + x[1] e^{-j \frac{2\pi}{N} 1 \cdot 2} + x[2] e^{-j \frac{2\pi}{N} 2 \cdot 2} + x[3] e^{-j \frac{2\pi}{N} 3 \cdot 2},$$

$$X[3] = x[0] e^{-j \frac{2\pi}{N} 0 \cdot 3} + x[1] e^{-j \frac{2\pi}{N} 1 \cdot 3} + x[2] e^{-j \frac{2\pi}{N} 2 \cdot 3} + x[3] e^{-j \frac{2\pi}{N} 3 \cdot 3}.$$



DFT, matrični prikaz

- Prethodne 4 enačbe se mogu matrično zapisati:

$$\begin{bmatrix} X[0] \\ X[1] \\ X[2] \\ X[3] \end{bmatrix} = \begin{bmatrix} 1 & 1 & 1 & 1 \\ 1 & e^{-j\frac{2\pi}{4}} & e^{-j\frac{4\pi}{4}} & e^{-j\frac{6\pi}{4}} \\ 1 & e^{-j\frac{4\pi}{4}} & e^{-j\frac{8\pi}{4}} & e^{-j\frac{12\pi}{4}} \\ 1 & e^{-j\frac{6\pi}{4}} & e^{-j\frac{12\pi}{4}} & e^{-j\frac{18\pi}{4}} \end{bmatrix} \begin{bmatrix} x[0] \\ x[1] \\ x[2] \\ x[3] \end{bmatrix}$$

- Linearni operator koji definira DFT preslikavanje $x \rightarrow X$ je $N \times N$ matrica.



DFT, matrični prikaz

- U našem primjeru, to je matrica \mathbf{W}_4 :

$$\mathbf{W}_4 = \begin{bmatrix} 1 & 1 & 1 & 1 \\ 1 & -j & -1 & j \\ 1 & -1 & 1 & -1 \\ 1 & j & -1 & -j \end{bmatrix}$$

- Općenito:

$$W_N = e^{-j\frac{2\pi}{N}} \quad \mathbf{W}_N = [W_N^{km}]$$

Inverzna DFT, matrični prikaz



$$x(n) = \frac{1}{N} \sum_{k=0}^{N-1} X(k) e^{j \frac{2\pi}{N} nk}$$

- Za $N=4$:
$$\begin{bmatrix} x[0] \\ x[1] \\ x[2] \\ x[3] \end{bmatrix} = \frac{1}{N} \begin{bmatrix} 1 & 1 & 1 & 1 \\ 1 & e^{j \frac{2\pi}{4}} & e^{j \frac{4\pi}{4}} & e^{j \frac{6\pi}{4}} \\ 1 & e^{j \frac{4\pi}{4}} & e^{j \frac{8\pi}{4}} & e^{j \frac{12\pi}{4}} \\ 1 & e^{j \frac{6\pi}{4}} & e^{j \frac{12\pi}{4}} & e^{j \frac{18\pi}{4}} \end{bmatrix} \begin{bmatrix} X[0] \\ X[1] \\ X[2] \\ X[3] \end{bmatrix}$$

- Općenito: $W_N = e^{-j \frac{2\pi}{N}}$ $\mathbf{W}_N^{-1} = \frac{1}{N} [\mathbf{W}_N^{-km}]$

$$\mathbf{W}_N^{-1} \cdot \mathbf{W}_N = \mathbf{I}$$



DFT: broj operacija

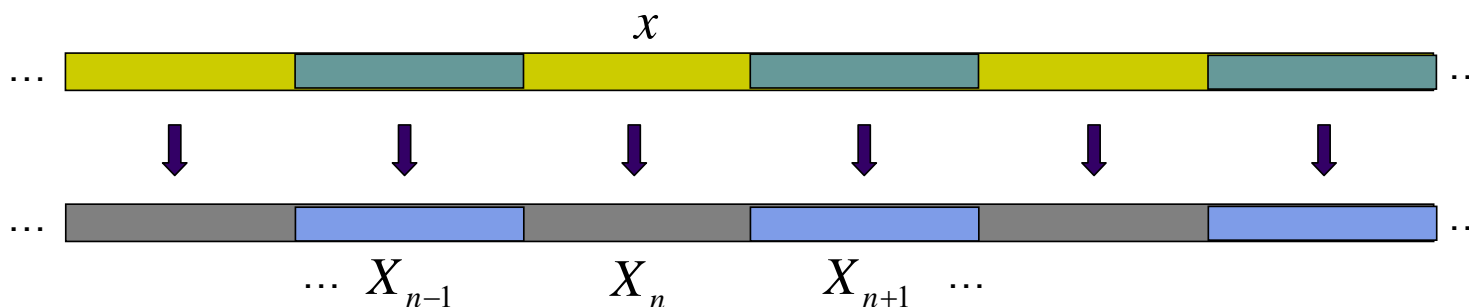
$$\begin{bmatrix} X(0) \\ X(1) \\ \vdots \\ X(N) \end{bmatrix} = \begin{bmatrix} 1 & 1 & \dots & 1 \\ 1 & W_N^{1 \cdot 1} & \dots & W_N^{1 \cdot N} \\ \vdots & \vdots & \ddots & \vdots \\ 1 & W_N^{(N-1) \cdot 1} & \dots & W_N^{(N-1) \cdot (N-1)} \end{bmatrix} \begin{bmatrix} x(0) \\ x(1) \\ \vdots \\ x(N) \end{bmatrix}$$

- Direktna implementacija DFT-a signala dužine N uzoraka zahtijeva:
 - N x N kompleksnih množenja
 - N x (N-1) kompleksnih zbrajanja
- Broj operacija raste s kvadratom dužine signala.



DFT: blok po blok

- Signal beskonačne dužine podijelimo u blokove dužine N .
- Na svakom bloku zasebno računamo DFT:

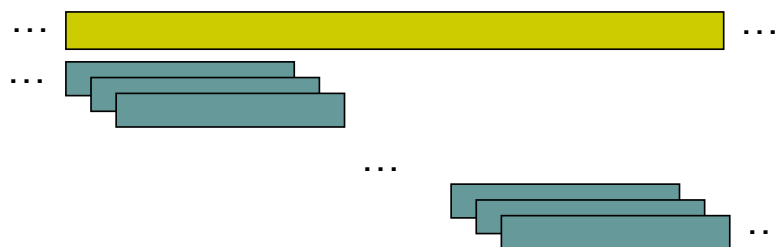


- Rezultat ima frekvencijsku, ali i vremensku dimenziju: imamo po N uzoraka DFT spektra svakih N uzoraka vremena.



DFT: korak po korak

- Signal beskonačne dužine množimo s pomičnim vremenskim otvorom dužine N , na kojem računamo DFT:



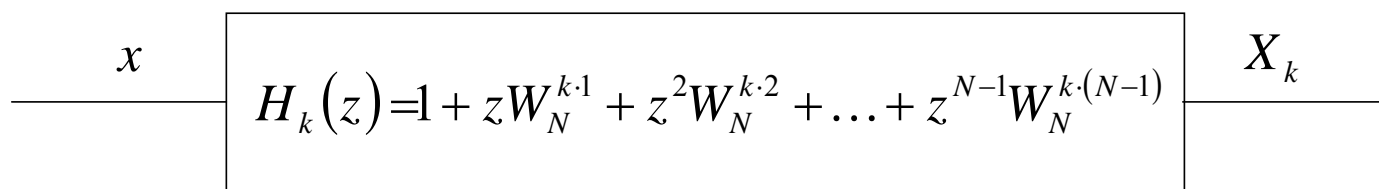
- Otvor pomičemo korak po korak: imamo po N uzoraka DFT spektra za svaki uzorak vremena.



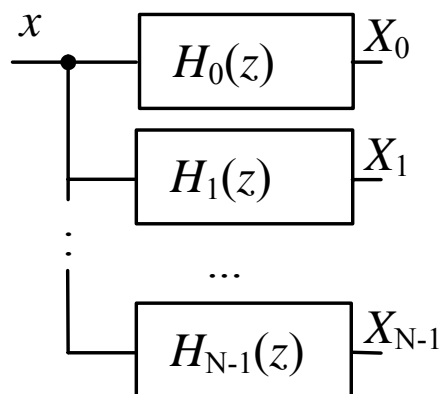
DFT matrica

$$\begin{bmatrix} X(0) \\ X(1) \\ \vdots \\ X(N) \end{bmatrix} = \begin{bmatrix} 1 & 1 & \dots & 1 \\ 1 & W_N^{1 \cdot 1} & \dots & W_N^{1 \cdot N} \\ \vdots & \vdots & \ddots & \vdots \\ 1 & W_N^{(N-1) \cdot 1} & \dots & W_N^{(N-1) \cdot (N-1)} \end{bmatrix} \begin{bmatrix} x(0) \\ x(1) \\ \vdots \\ x(N) \end{bmatrix}$$

- Svaki redak matrice može se interpretirati kao FIR filter dužine N sa kompleksnim koeficijentima.
- K -ti filter:



DFT filtarski slog



- Svaki filter daje po jedan DFT koeficijent u svakom trenutku vremena.
- Sve filtre skupimo u filtarski slog. Dobili smo realizaciju DFT-a na pomičnog otvoru: korak po korak DFT-a.

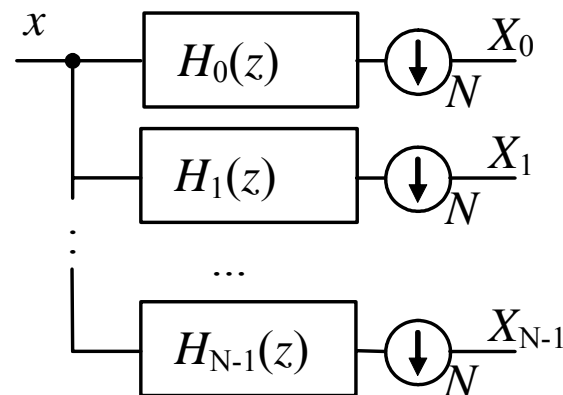
27

DFT

filtrarski slog s decimacijom



- Ukoliko zadržimo samo svaki N -ti uzorak rezultata i odbacimo sve ostale, dobili smo realizaciju DFT-a blok po blok:



- Odbacivanje uzoraka (signala, spektra, ...) se naziva decimacija (odgovarajući simbol na slici).



Inverzna DFT

- Iz n DFT koeficijenata X_0, \dots, X_{N-1} otprije znamo rekonstruirati n uzoraka signala x :

$$\begin{bmatrix} x(0) \\ x(1) \\ \vdots \\ x(N) \end{bmatrix} = \frac{1}{N} \begin{bmatrix} 1 & 1 & \dots & 1 \\ 1 & W_N^{-1 \cdot 1} & \dots & W_N^{-1 \cdot N} \\ \vdots & \vdots & \ddots & \vdots \\ 1 & W_N^{-(N-1) \cdot 1} & \dots & W_N^{-(N-1) \cdot (N-1)} \end{bmatrix} \begin{bmatrix} X(0) \\ X(1) \\ \vdots \\ X(N) \end{bmatrix}$$

- Doprinos koeficijenta X_k svakom pojedinom uzorku $x(n)$ možemo očitati iz pripadnog k -tog stupca matrice DFT^{-1} .



Inverzna DFT

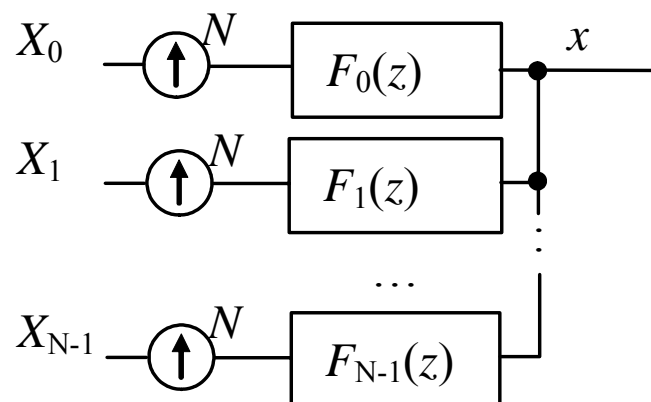
- To možemo predstaviti slogom filtara na sljedeći način.
- Od svakog uzorka X_k konstruujemo signal trajanja N dodavanjem nula (pretvorimo ga u impuls), te ga propustimo kroz FIR filter čiji su koeficijenti upravo k -ti stupac matrice DFT^{-1} :

$$\{X_k, 0, 0, \dots, 0\} \xrightarrow{F_k(z) = 1 + z^{-1}W_N^{-k \cdot 1} + \dots + z^{-N+1}W_N^{-k \cdot (N-1)}} x_k$$

- Blok od N uzoraka signala x rekonstruujemo zbrajanjem svih doprinosa x_k .

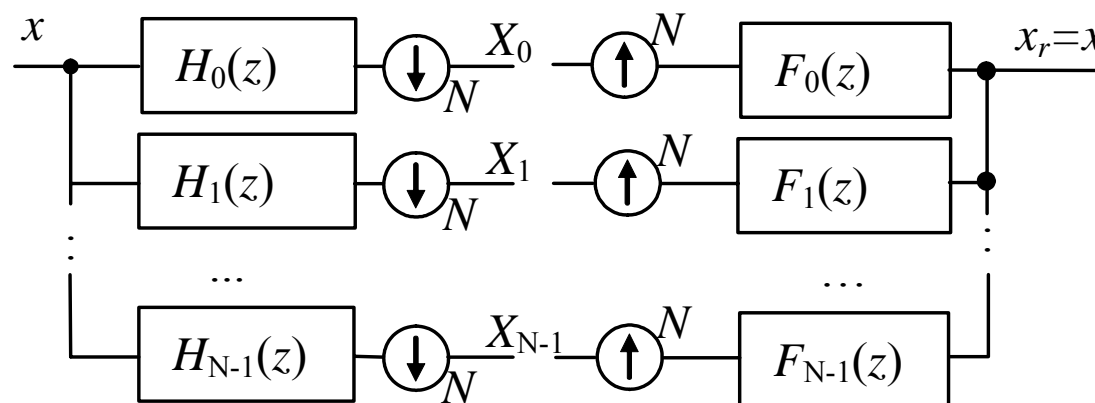


Inverzna DFT slogom filtara



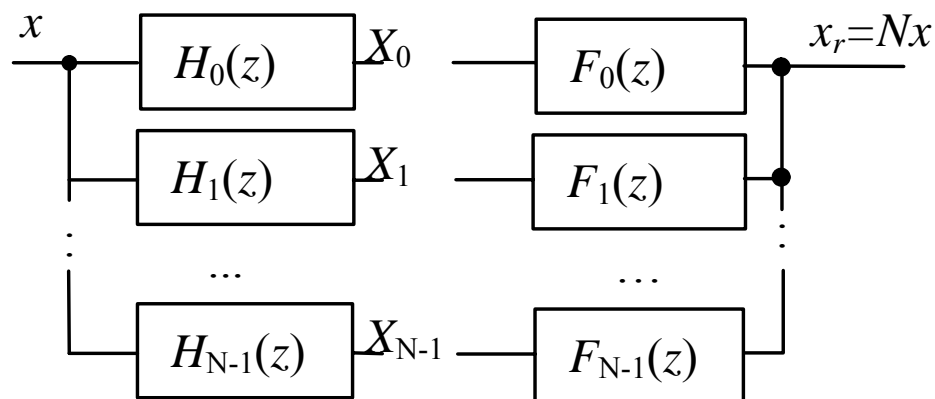
- Umetanje nula između uzoraka (spektra, signala, ...) nazivamo ekspanzijom i označavamo na slici odgovarajućim simbolom.

DFT filterbank with maximum decimation



- Ovakav decimirani filterbank odgovara blok po blok izračunavanju DFT.
- Uzorci DFT spektra izračunati su za svakih N uzoraka vremena.

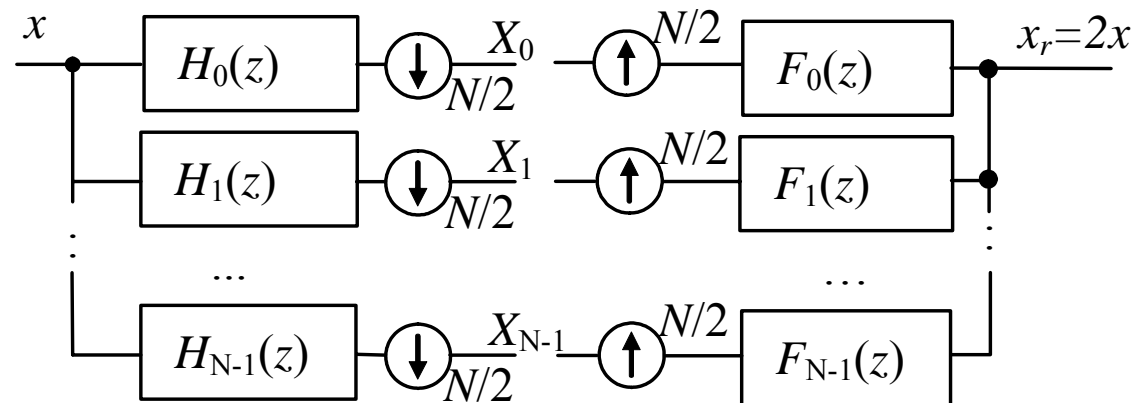
DFT nedecimirani filtarski slog



- Odgovara računanju DFT pomičnim otvorom.
- Uzorci DFT spektra izračunavaju se u svakom koraku.
- Rezultat je redundantan. Svaki uzorak rekonstruiranog signala pribrojen je N puta, pa je rezultat N puta uvećan.

DFT

filtarski slog s decimacijom



- Ovakav decimirani filtarski slog odgovara blok po blok izračunavanju DFT, uz (polovično) preklapanje blokova.
- Uzorci DFT spektra izračunati su za svakih $N/2$ uzoraka vremena.

Utjecaj vremenskog otvora na spektar signala



- Pitanje je u kojoj mjeri spektar vremenskim otvorom odrezanog signala odgovara spektru originalnog signala?
- x_w se može prikazati kao produkt originalnog signala x i pravokutnog otvora konačnog trajanja, na nekoj lokaciji n :

$$x_{w,n}(k) = x(k) \cdot w(k - n)$$

$$w(k) = \begin{cases} 1, & -N/2 \leq k \leq N/2 \\ 0, & \text{inače} \end{cases}$$

Utjecaj vremenskog otvora



- Množenje u vremenskoj domeni u odgovara konvoluciji u frekvencijskoj domeni.

$$X_{w,n} = X * W_n$$

$$X_{w,n}(e^{j\omega}) = \frac{1}{2\pi} \int_{-\pi}^{+\pi} X(e^{j\varphi}) \cdot W(e^{j(\omega-\varphi)}) e^{jn(\omega-\varphi)} d\varphi$$

- Da bismo vidjeli kakav je utjecaj vremenskog otvora, trebat će nam spektar $W(e^{j\omega})$ tj.
- Fourierova transformacija vremenski diskretnog signala $w(k)$.

Spektar pravokutnog vremenskog otvora



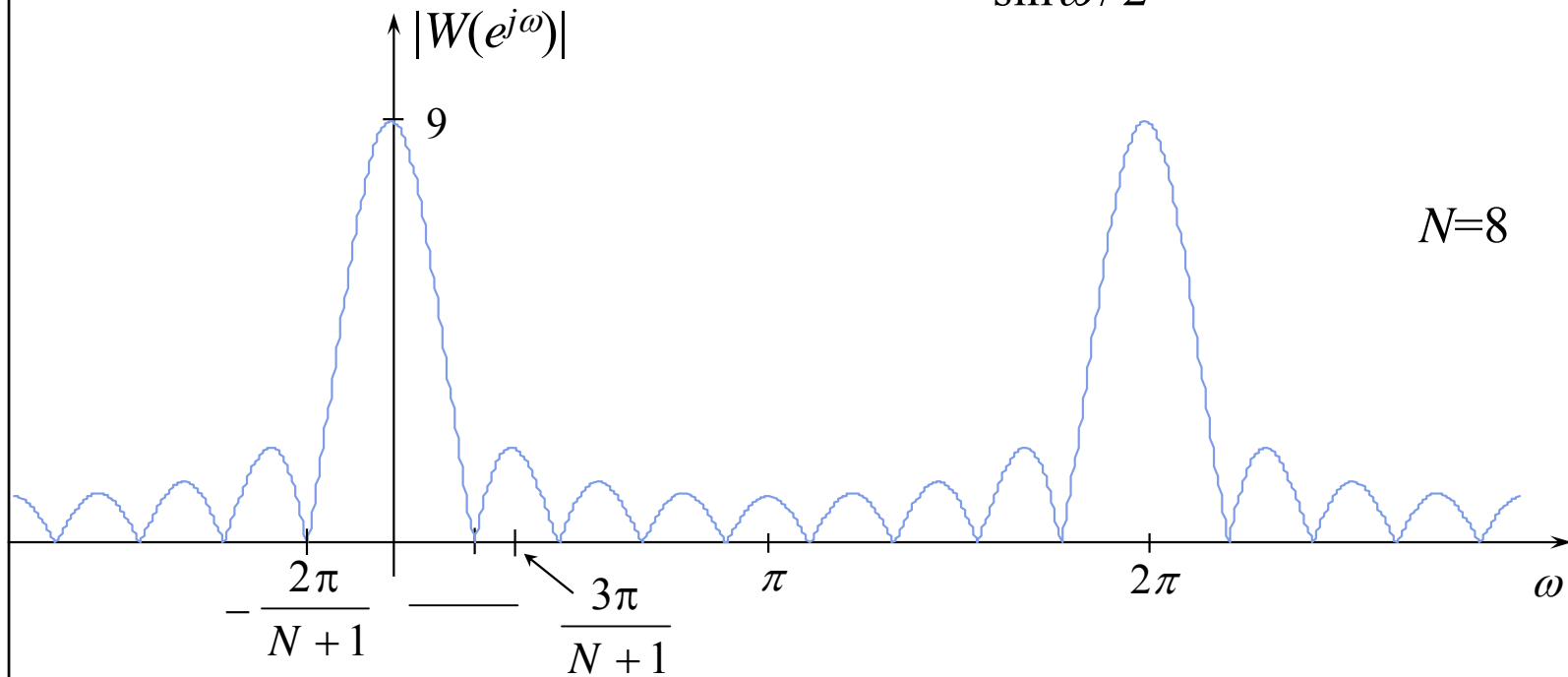
$$\begin{aligned}
 W(e^{j\omega}) &= \sum_{k=-N/2}^{N/2} 1 \cdot e^{-j\omega k} = \left| k' = k + \frac{N}{2} \right| = \sum_{k'=0}^N e^{-j\omega \left(k' - \frac{N}{2} \right)} = e^{j\omega \frac{N}{2}} \sum_{k=0}^N e^{-j\omega k} \\
 &= e^{j\omega \frac{N}{2}} \frac{1 - e^{-j\omega(N+1)}}{1 - e^{-j\omega}} = e^{j\omega \frac{N}{2}} \frac{e^{-j\omega \frac{N+1}{2}} \left(e^{+j\omega \frac{N+1}{2}} - e^{-j\omega \frac{N+1}{2}} \right)}{e^{-j\omega \frac{1}{2}} \left(e^{+j\omega \frac{1}{2}} - e^{-j\omega \frac{1}{2}} \right)} \\
 &= \frac{e^{-j\omega \frac{1}{2}} 2j \sin\left(\omega \frac{N+1}{2}\right)}{e^{-j\omega \frac{1}{2}} 2j \sin\left(\frac{\omega}{2}\right)} = \frac{\sin(N+1) \frac{\omega}{2}}{\sin \frac{\omega}{2}}
 \end{aligned}$$

Spektar pravokutnog vremenskog otvora

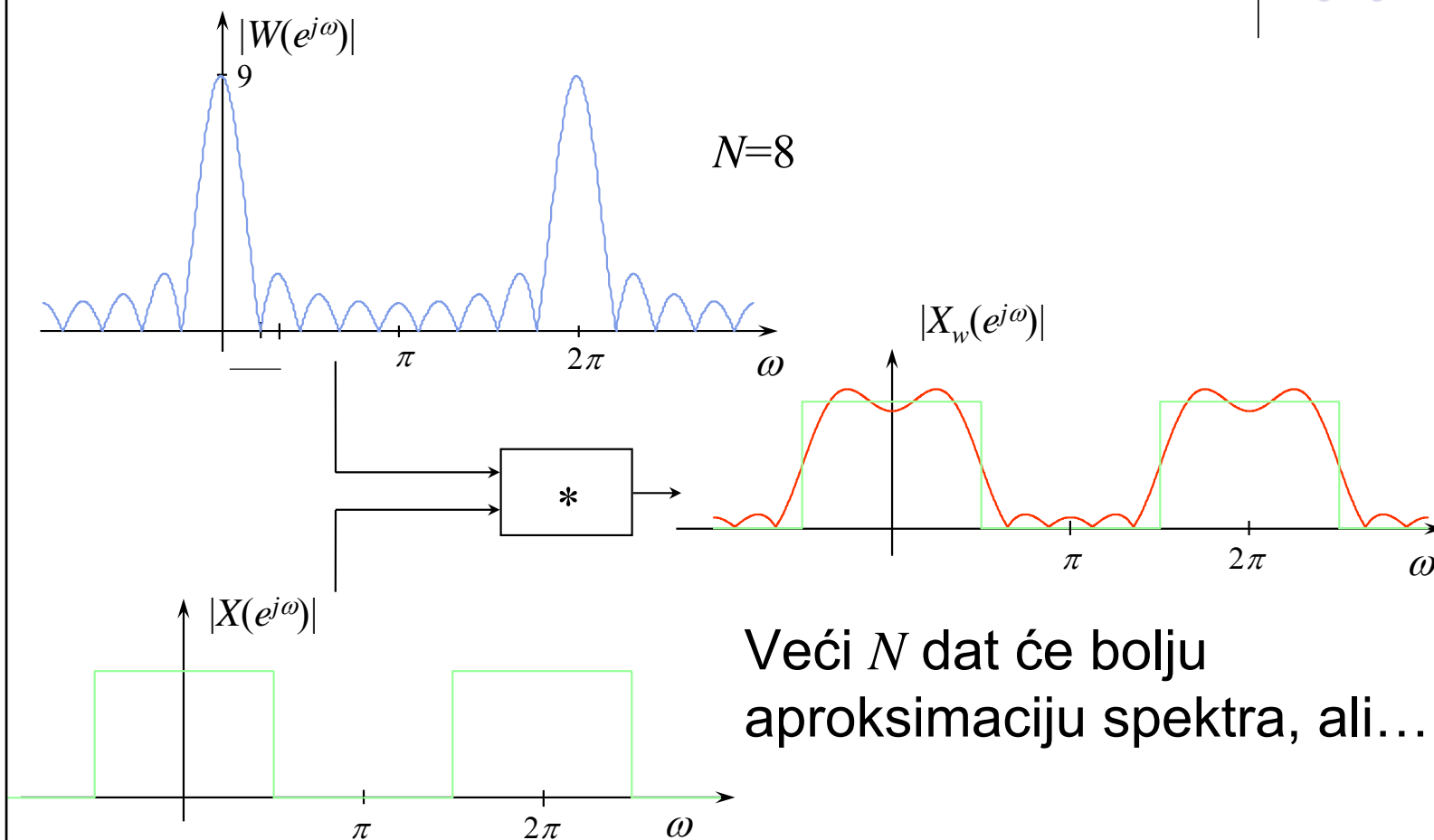


Fourierova transformacija vremenskog otvora $w(k)$ je

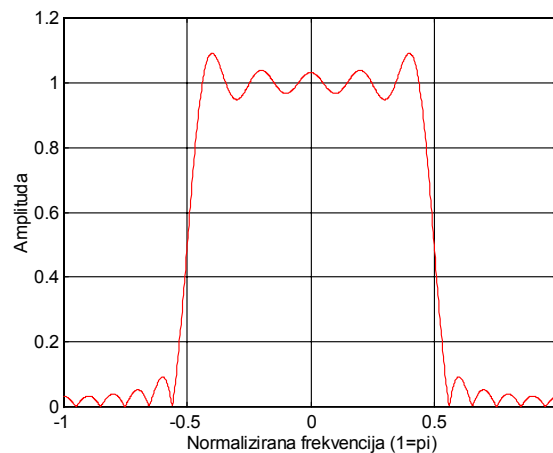
$$W(e^{j\omega}) = \frac{\sin \omega(N+1)/2}{\sin \omega/2}$$



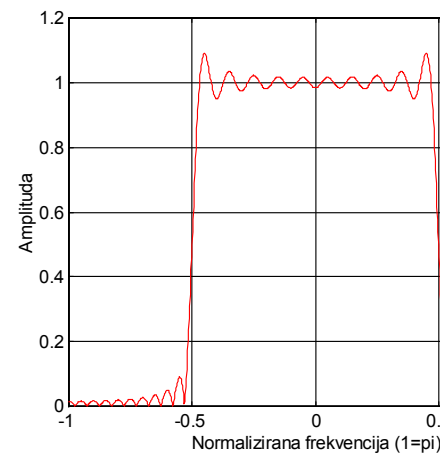
Utjecaj vremenskog otvora na amplitudu spektra



Gibbsov fenomen...



$N=20$



$N=40$

- Za velike N -ove valovitost u blizini brida spektra originalnog signala ne opada, već ostaje konstantna (Gibbsov fenomen)!
- Stoga se osim pravokutnog koriste i drugi vremenski otvori (o tome kasnije).

Utjecaj diskretizacije spektra



- Računavši DFT na svakom pomaknutom otvoru (blok po blok, korak po korak, ...) mi smo izračunali **uzorke** spektra na diskretnim frekvencijama.
- Diskretni spektri odgovaraju spektrima **periodički proširenih** signala.
- Periodičko proširenje je na svakoj poziciji otvora drugačije.
- Utjecaj periodičkog proširenja se može umanjiti pogodnim izborom vremenskog otvora (o tome kasnije...).

Spektar snage i spektrogram

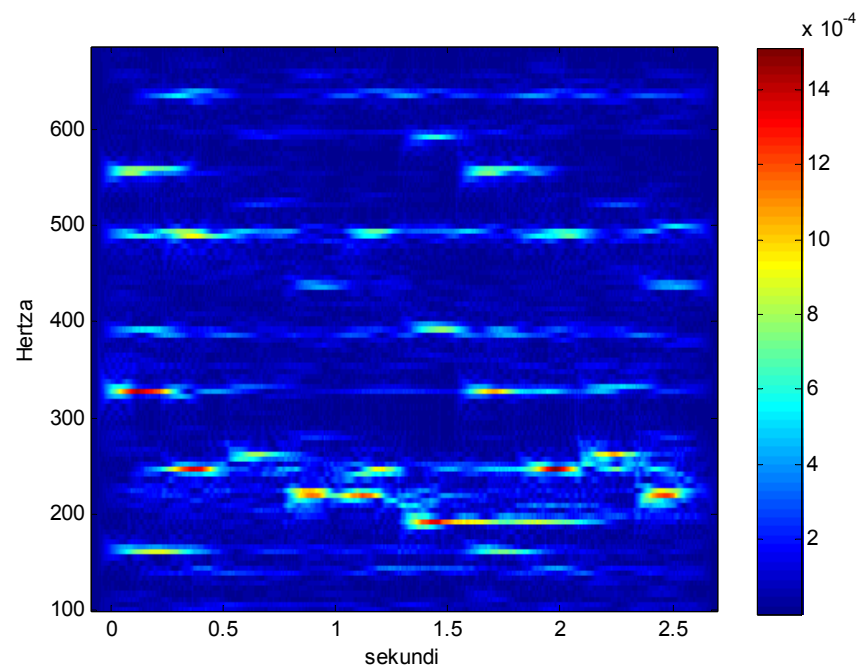


- Spektar snage:

$$\left| X_{w,n}(e^{j\omega}) \right|^2 = X_{w,n}^*(e^{j\omega}) \cdot X_{w,n}(e^{j\omega})$$

- Spektar snage signala je realan, nenegativan, za realne signale paran.
- Računamo li spektar blok po blok, ili korak po korak korištenjem vremenskog otvora, dobivamo procjenu spektra snage signala s dimenzijom vremena: spektrogram.
- DFT spektrogram: $\left| X_{w,n}(k) \right|^2$

Spektrogram, primjer



- Zvuk gitare



Brza DFT

- Broj operacija potrebnih za direktnu implementaciju DFT je reda veličine N^2 kompleksnih operacija - oznaka $O(N^2)$.
- Algoritmi čija računaska složenost raste s kvadratom duljine signala nisu najpogodniji za realizaciju.
- Pitanje: možemo li DFT izračunati s manjim brojem računskih operacija?



Brza Fourierova transformacija

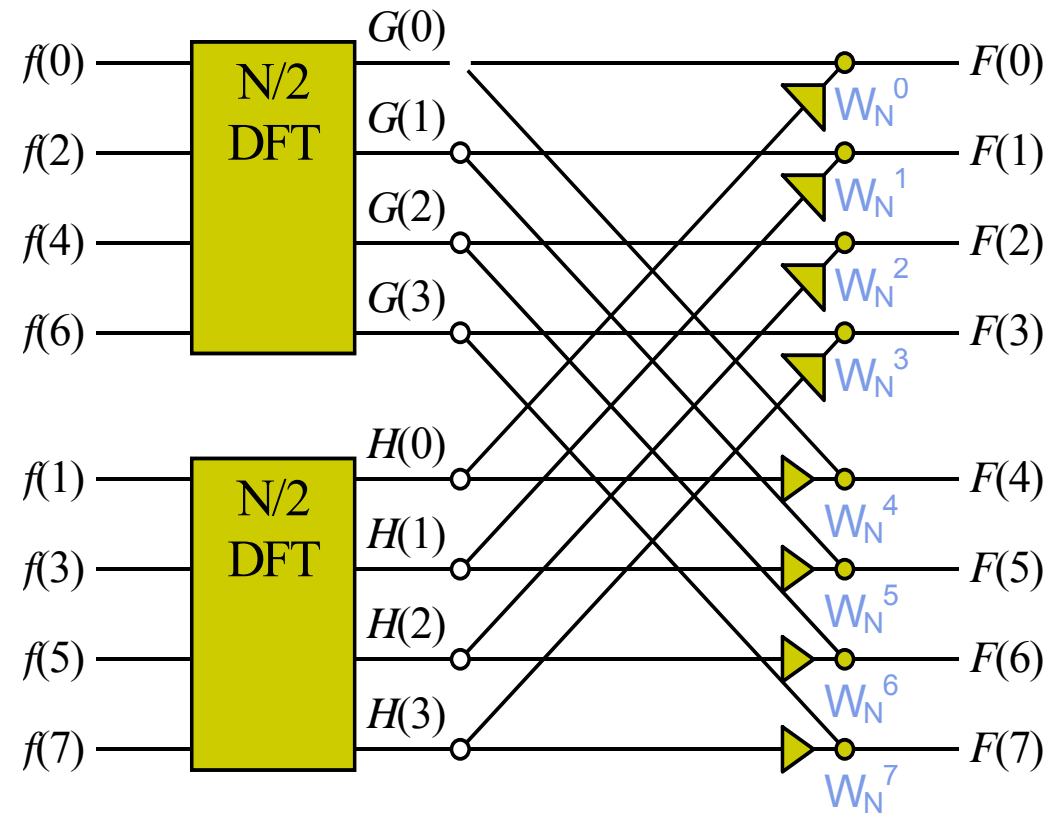
- FFT postupci se temelje na razlaganju N uzoraka niza u više grupa uzoraka, a koristi periodičnost i simetrija eksponencijale.
- Sumu za $X(n)$ razložimo u dvije, po parnim i neparnim uzorcima:

$$\begin{aligned} X(n) &= \sum_{r=0}^{N/2-1} x(2r)e^{-j\frac{2\pi n 2r}{N}} + \sum_{r=0}^{N/2-1} x(2r+1)e^{-j\frac{2\pi n(2r+1)}{N}} = \\ &= \sum_{r=0}^{N/2-1} x(2r)e^{-j\frac{2\pi n r}{N/2}} + e^{-j\frac{2\pi n}{N}} \sum_{r=0}^{N/2-1} x(2r+1)e^{-j\frac{2\pi n r}{N/2}} \\ X(n) &= G(n) + e^{-j\frac{2\pi n}{N}} H(n) \quad W_N^{2r} = W_{N/2}^r \end{aligned}$$

$G(n), H(n)$ – DFT od $N/2$ parnih i neparnih uzoraka.⁴⁵



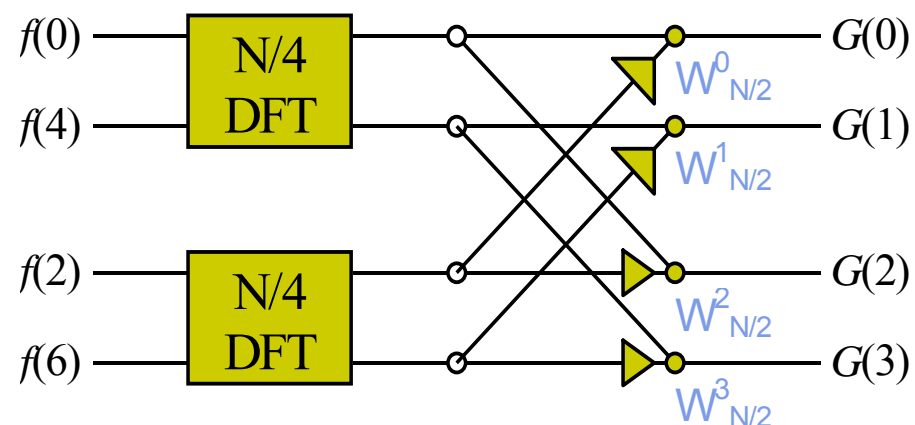
Blok dijagram za $N = 8$





Brza Fourierova transformacija

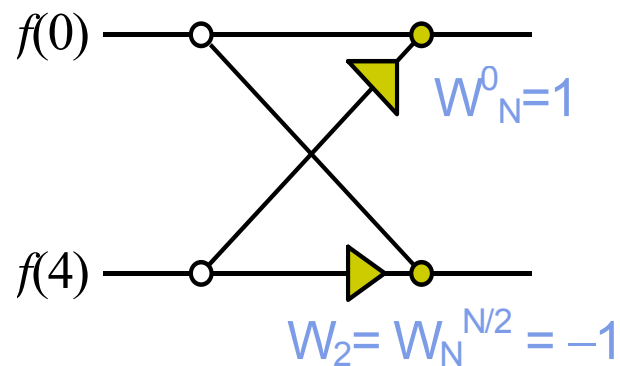
- Dvije transformacije po $N/2$ uzoraka traže $2(N/2)^2$, odnosno $N^2/2$ operacija.
- Trebat će nam još N zbrajanja i množenja za ukupan rezultat, ali ušteda je veća!
- Ako je $N/2$ i dalje paran broj možemo i $N/2$ DFT odrediti s nove dvije DFT s $N/4$ uzoraka:



DFT leptir



- Na kraju dolazimo na DFT od 2 svega uzorka:

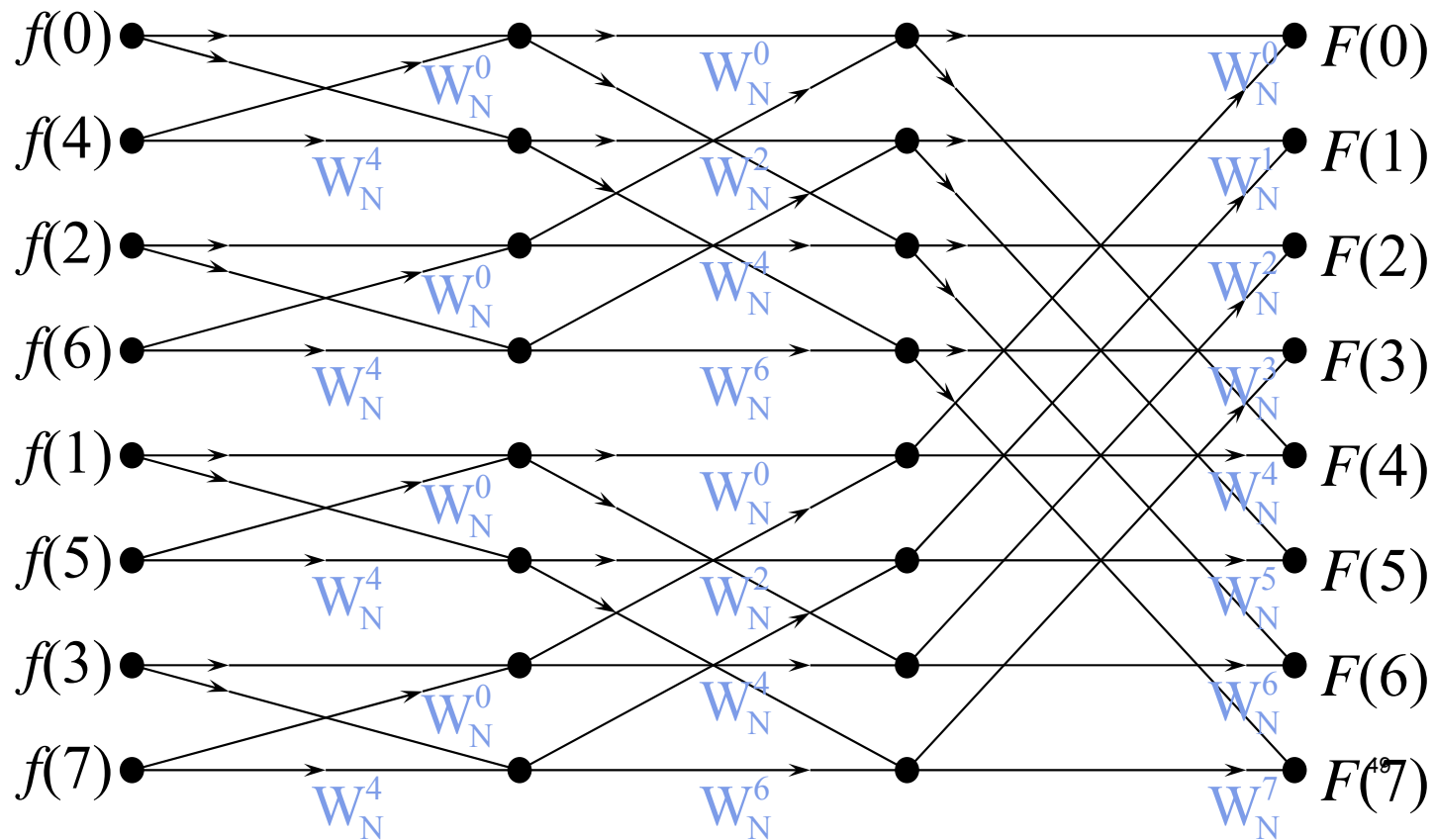


- Ova struktura se naziva DFT leptir.



Blok diagram FFT za N = 8

$$m_{\text{FFT}} = N \log_2 N = 8 * 3 = 24, m_{\text{DFT}} = N^2 = 64$$



Brza Fourierova transformacija



- U općem slučaju s $N = 2^q$ za svođenje na DFT od samo dva uzorka trebat će za postupak računanja za q –stupnjeva.
- Kako u svakom stupnju imamo N množenja ukupan broj množenja m iznosi $N \log_2 N$.
- To je **značajna ušteda** !
- Npr. $N=1024$, $m_{\text{FFT}} = N \log_2 N = 1024 \cdot 10 = 10240$,
 $m_{\text{DFT}} = N^2 = 1048576$.
- Ukoliko N nije potencija broja 2, signal se može nadopuniti nulama.

Odradili smo teme:



- Fourierova transformacija: 4 varijante
- Matrica diskretne Fourierove transformacije (DFT matrica)
- DFT filtarski slog
- Brza Fourierova transformacija (FFT)